

01:09

Отражение и прохождение плоских волн на границе анизотропных случайных дискретных сред

© Ю.Л. Ломухин, Е.Б. Атуров

Отдел физических проблем при президиуме Бурятского Научного Центра СО РАН,
670047 Улан-Удэ, Россия
e-mail: evgeniy_atutov@mail.ru

(Поступило в Редакцию 9 апреля 2008 г. В окончательной редакции 24 июля 2008 г.)

Дано решение уравнений Максвелла в случайный дискретной анизотропной среде при использовании приближения однократного рассеяния и условии погружения в максимально упакованную среду. Определены коэффициенты отражения и прохождения плоских волн на границе пустота—случайная дискретная анизотропная среда. Проведено сравнение расчетных и экспериментальных данных по отражению и прохождению волн вблизи края леса как примера естественной анизотропной случайной дискретной среды.

PACS: 42.25.Dd

Введение

Случайные дискретные среды весьма распространены в природе и технике: объемные решетки [1], фотонные кристаллы [2], оптоволоконные линии [3], атмосферы [4] и весьма распространенные лесные среды, которые являются примером анизотропной с пространственной и частотной дисперсией случайной дискретной средой.

Целью настоящей работы является исследование электромагнитных явлений вблизи границы пустота—случайная анизотропная дискретная среда. Рассматривается поле плоской волны в безграничной случайной анизотропной дискретной немагнитной среде, состоящей из произвольным образом расположенных бесконечно длинных анизотропных цилиндрических элементов, находящихся в воздухе.

Неоднородности представляют собой сочетание двух областей: внутреннего цилиндра радиусом a_1 с диэлектрической и магнитной проницаемостью соответственно $\hat{\epsilon}_a$, μ_1 , и оболочки с $\hat{\epsilon}_a^{\text{cr}}$, μ_a^{cr} (верхний индекс „cr“ от англ. crown — корона), радиусом a_2 (рис. 1), $\hat{\epsilon}_a$ и $\hat{\epsilon}_a^{\text{cr}}$ — тензоры.

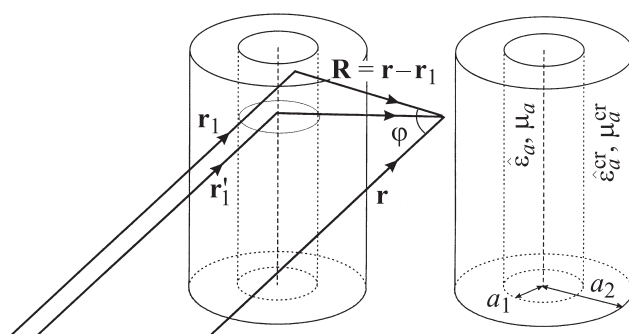


Рис. 1. Случайная дискретная среда.

Неоднородности будем характеризовать эффективной диэлектрической проницаемостью в виде

$$\hat{\epsilon}_{\text{eff},a} = \frac{\pi a_1^2 \hat{\epsilon}_a + (a_2^2 - a_1^2) \hat{\epsilon}_a^{\text{cr}}}{\pi a_2^2} = \left(\frac{a_1}{a_2} \right)^2 (\hat{\epsilon}_a - \hat{\epsilon}_a^{\text{cr}}) + \hat{\epsilon}_a^{\text{cr}},$$

$$\hat{\epsilon}_{\text{eff},a} = \epsilon_0 \hat{\epsilon}_{\text{eff}}.$$

Среднее поле в случайной анизотропной дискретной среде

В соответствии с приведенными выше уравнениями (временную зависимость полей полагаем в виде $\exp(-i\omega t)$) получим

$$\text{rot } \mathbf{H} = -i\omega \hat{\epsilon}_a(r) \mathbf{E}, \quad \text{rot } \mathbf{E} = i\omega \mu_a \mathbf{H} \quad (1)$$

и, считая, что

$$\hat{\epsilon}_a(r) = \langle \hat{\epsilon}_a(r) \rangle + \Delta \hat{\epsilon}_a(r),$$

волновое уравнение, описывающее монохроматическую волну, запишем в виде

$$(\text{rot rot} - k^2) \mathbf{E}(\mathbf{r}) = k^2 \frac{\Delta \hat{\epsilon}_a(\mathbf{r})}{\langle \hat{\epsilon}_a(\mathbf{r}) \rangle} \mathbf{E}(\mathbf{r}), \quad (2)$$

где $\mathbf{E}(\mathbf{r})$ — напряженность электрического поля в неоднородной среде, $k^2 = \omega^2 \mu_a \langle \hat{\epsilon}_a(\mathbf{r}) \rangle$, $\langle \hat{\epsilon}_a(r) \rangle$ — фоновая диэлектрическая проницаемость, $\Delta \hat{\epsilon}_a(\mathbf{r})$ — диэлектрическая проницаемость включений.

Уравнение (2) представляется в интегральной форме

$$\mathbf{E}(\mathbf{r}) = \mathbf{E}_0(\mathbf{r}) + \frac{1}{4\pi} \int_V d^3 \mathbf{r}_1 \hat{T}(\mathbf{r} - \mathbf{r}_1) \frac{\Delta \hat{\epsilon}_a(\mathbf{r}_1)}{\langle \hat{\epsilon}_a(\mathbf{r}) \rangle} \mathbf{E}(\mathbf{r}_1). \quad (3)$$

Здесь $\mathbf{E}_0(\mathbf{r})$ — среднее поле в однородной среде с диэлектрической проницаемостью $\hat{\epsilon}_a = \langle \hat{\epsilon}_a(\mathbf{r}) \rangle$,

$$\hat{T}(\mathbf{r} - \mathbf{r}_1) = \frac{k^2}{\hat{\epsilon}_a R_n} \left(\hat{j} - \frac{\mathbf{R} \mathbf{R}}{R^2} \right) \exp(ikR)$$

— пропагатор электромагнитного поля, с точностью до 4π совпадающий с функцией Грина уравнения (2), $\hat{\mathbf{j}}$ — единичный тензор, а $\mathbf{R} = \mathbf{r} - \mathbf{r}_1$ [5].

В нашем случае

$$\Delta\hat{\varepsilon}_a(\mathbf{r}_1) = \begin{cases} \hat{\varepsilon}_{\text{eff}_a}, & \mathbf{r}_1 \in V_n; \\ 0, & \mathbf{r}_1 \notin V_n, \end{cases} \quad (4)$$

где V_n — объем n -го рассеивателя.

Если цилиндрические элементы размещены в соответствии с законом Пуассона, то плотность вероятности распределения расстояний между ними есть закон Релея:

$$f_1(R_n) = 2\pi\sigma R_n \exp(-\pi\sigma R_n^2), \quad R_n = |\mathbf{r} - \mathbf{r}'_1|, \quad (5)$$

где σ — средняя плотность неоднородностей.

Случайным в выражении (3) будет и распределение положения элементов по углу φ ; считаем его равномерным

$$f_2(\varphi) = \frac{1}{2\pi}. \quad (6)$$

С учетом (4)–(6), ограничиваясь однократным рассеянием (приближение Борна), но, введя множитель β и среднюю по ансамблю реализаций, (3) запишем в виде

$$\langle \mathbf{E}(\mathbf{r}) \rangle = \mathbf{E}_0(\mathbf{r}) + \alpha \int_0^\infty f_1(R_n) \int_0^{2\pi} f_2(\varphi) \int_{V_n} d\mathbf{r}_1 \hat{T}(\mathbf{R}_n) \mathbf{E}(\mathbf{r}_1) dR_n d\varphi. \quad (7)$$

Множитель α определим из следующего условия. Положим в (7) $\sigma = \sigma_{\max} = \frac{1}{4a_2^2}$, т.е. перейдем к максимально плотной упаковке рассеивающих элементов, при этом дискретную среду можно считать сплошной с диэлектрической проницаемостью $\hat{\varepsilon}_{\text{eff}_a}$ [6,7], тогда

$$\langle \mathbf{E}(\mathbf{r}) \rangle |_{\sigma=\sigma_{\max}} = \mathbf{E}_{1c}(\mathbf{k}_1 \mathbf{r}) + \mathbf{E}_{2c}(\mathbf{k}_2 \mathbf{r}), \quad (8)$$

где $\mathbf{E}_{1c}(\mathbf{k}_1 \mathbf{r})$ и $\mathbf{E}_{2c}(\mathbf{k}_2 \mathbf{r})$ — собственные плоские волны в анизотропной среде [8].

Подставив (7) в (8), определим α и получим:

$$\langle \mathbf{E}(\mathbf{r}) \rangle = \mathbf{E}_0(k_0 \mathbf{r})(1 - \beta) + \beta [\mathbf{E}_{1c}(k_1 \mathbf{r}) + \mathbf{E}_{2c}(k_2 \mathbf{r})], \quad (9)$$

$$\beta = \frac{\int_0^\infty f_1(R_n) \int_0^{2\pi} f_2(\varphi) \int_{V_n} d\mathbf{r}_1 \hat{T}(\mathbf{R}_n) \mathbf{E}_0(\mathbf{r}_1) dR_n d\varphi}{\int_0^\infty f_1(R_n) \int_0^{2\pi} f_2(\varphi) \int_{V_n} d\mathbf{r}_1 \hat{T}(\mathbf{R}_n) \mathbf{E}_0(\mathbf{r}_1) dR_n d\varphi} |_{\sigma=\sigma_{\max}}. \quad (10)$$

Из (9) следует, что среднее поле в случайной дискретной среде представляет собой суперпозицию волн прямого прохождения, ослабленных в $1 - \beta$ раз и рассеянных, вследствие чего неизбежны интерференционные явления.

Интегралы, входящие в выражение (10), вычислены с применением метода стационарной фазы и метода

Лапласа с учетом особенностей подынтегральной функции [7]. В результате имеем:

$$\beta = \sqrt{\left(\frac{p_{\max}}{p}\right)^3} \exp[i(p - p_{\max})] \frac{\sum_{n=0}^{\infty} (i)^{-n} J_n(p)}{\sum_{n=0}^{\infty} (i)^{-n} J_n(p_{\max})}, \quad (10')$$

где

$$p = \frac{k_0}{2\sqrt{\sigma}}, \quad p_{\max} = \frac{k_0}{2\sqrt{\sigma_{\max}}},$$

$J_n(p)$ — функция Бесселя первого рода n -го порядка.

Функция (9), описывающая среднее поле в случайной дискретной среде, очевидно, должна совпадать с решением волнового уравнения для сплошной среды ($\beta \rightarrow 1$) и с решением волнового уравнения для свободного пространства ($\beta \rightarrow 0$). Данные условия выполняются благодаря введению коэффициента β , содержащему параметр p , значение которого для сплошной среды $p = p_{\max}$, а для свободного пространства $p \rightarrow \infty$. Случайной дискретной среде соответствуют значения p , лежащие в интервале $p_{\max} < p < \infty$.

Коэффициенты отражения и прохождения

Пусть плоская (TEM) волна распространяется в направлении \mathbf{k}_{01} перпендикулярно оптической оси и падает на границу раздела под углом φ_1 (рис. 2). Рассчитаем коэффициенты отражения и прохождения в случае, когда граница раздела сред совпадает с плоскостью yoz . Плоскость падения Σ совпадает с oxy .

Рассмотрим два типа поляризации: первая поляризация — \mathbf{E} параллелен осям цилиндров, вторая — \mathbf{E} перпендикулярен осям рассеивателей.

Рассеивающие анизотропные цилиндрические элементы параллельны оси oz . Диэлектрическую проницаемость цилиндрических элементов считаем такой же, как

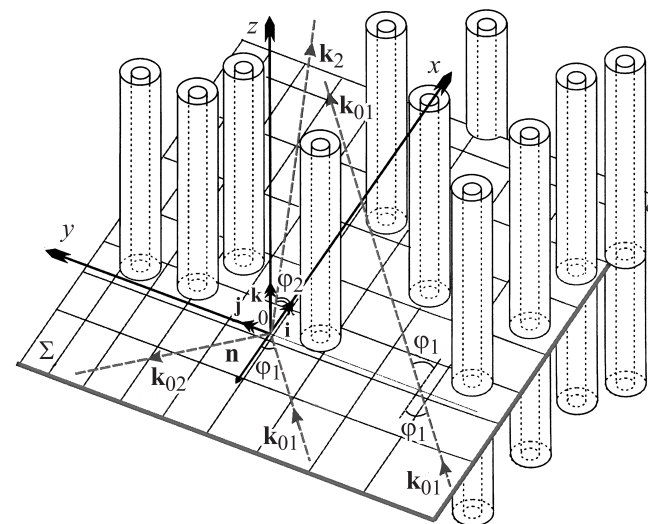


Рис. 2. Случайная дискретная среда, граница раздела yoz , плоскость падения $\Sigma(yox)$.

у одноосной кристаллической среды. Пусть оптическая ось параллельна оси oz . В этом случае тензор $\hat{\epsilon}_{\text{eff}_a}$ будет диагональным:

$$\hat{\epsilon}_{\text{eff}_a} = \begin{pmatrix} \epsilon_{\text{eff}_a}^\perp & 0 & 0 \\ 0 & \epsilon_{\text{eff}_a}^\perp & 0 \\ 0 & 0 & \epsilon_{\text{eff}_a}^{\parallel} \end{pmatrix}.$$

В случае первой поляризации, когда $\mathbf{E} = \{0, 0, E_z\}$, $\mathbf{H} = \{H_x, H_y, 0\}$, в соответствии с уравнениями (1) для пустоты ($\hat{\epsilon}_a \rightarrow \epsilon_0$, ϵ_0 — диэлектрическая проницаемость свободного пространства) имеем следующие компоненты в области $x < 0$:

$$\begin{cases} E_x = 0, \\ E_y = 0, \\ E_z = \frac{i}{\omega\mu_0} \left(\frac{\partial H_y}{\partial x} - \frac{\partial H_x}{\partial y} \right), \end{cases} \quad \begin{cases} H_x = -\frac{i}{\omega\mu_0} \frac{\partial E_z}{\partial y}, \\ H_y = \frac{i}{\omega\mu_0} \frac{\partial E_z}{\partial x}, \\ H_z = 0. \end{cases} \quad (11)$$

Отсюда E_z подчиняется уравнению

$$\frac{\partial^2 E_z}{\partial x^2} + \frac{\partial^2 E_z}{\partial y^2} + \omega^2 \epsilon_0 \mu_0 E_z = 0. \quad (12)$$

Решение последнего ищем в виде $E_z = E_{0z} \exp(i(\mathbf{k}_0 \mathbf{r}))$, подставив его в (12), получим $k_0 = \omega \sqrt{\epsilon_0 \mu_0}$.

Поле в области $x < 0$, представляем в виде

$$\langle \mathbf{E}_1 \rangle = \langle \mathbf{E}_1^{\text{inc}} \rangle + V_\perp \langle \mathbf{E}_1^{\text{ref}} \rangle,$$

или

$$\langle \mathbf{E}_1 \rangle = \mathbf{k} E_{0z} \left(\exp(i(\mathbf{k}_{01} \mathbf{r})) + V_\perp \exp(i(\mathbf{k}_{02} \mathbf{r})) \right), \quad (13)$$

где $\mathbf{E}_1^{\text{inc}}$ — падающее на границу раздела сред поле, $\mathbf{E}_1^{\text{ref}}$ — отраженное поле, V_\perp — коэффициент отражения.

Напряженность магнитного поля из (11) получим в виде

$$\begin{aligned} \langle \mathbf{H}_1 \rangle &= \mathbf{i} \frac{E_{0z}}{\omega\mu_a} \left(k_{01y} \exp(i(\mathbf{k}_{01} \mathbf{r})) + V_\perp k_{02y} \exp(i(\mathbf{k}_{02} \mathbf{r})) \right) \\ &- \mathbf{j} \frac{E_{0z}}{\omega\mu_a} \left(k_{01y} \exp(i(\mathbf{k}_{01} \mathbf{r})) + V_\perp k_{01y} \exp(i(\mathbf{k}_{02} \mathbf{r})) \right). \end{aligned} \quad (14)$$

Поскольку в квадратных скобках (9) входит $\mathbf{E}_{2c}(k_2 r)$ — собственная волна в сплошной среде, то k_2 для нее определим исходя из уравнений (1). Запишем для области $x > 0$

$$\begin{cases} E_x = 0, \\ E_y = 0, \\ E_z = \frac{i}{\omega\epsilon_{\text{eff}_a}^{\parallel}} \left(\frac{\partial H_y}{\partial x} - \frac{\partial H_x}{\partial y} \right), \end{cases} \quad \begin{cases} H_x = -\frac{i}{\omega\mu_a} \frac{\partial E_z}{\partial y}, \\ H_y = \frac{i}{\omega\mu_a} \frac{\partial E_z}{\partial x}, \\ H_z = 0. \end{cases} \quad (15)$$

Отсюда E_z подчиняется уравнению

$$\frac{\partial^2 E_z}{\partial x^2} + \frac{\partial^2 E_z}{\partial y^2} + \omega^2 \epsilon_{\text{eff}_a}^{\parallel} \mu_a E_z = 0. \quad (16)$$

В соответствии с (9) поле в области $x > 0$ запишем в виде

$$\langle \mathbf{E}_2 \rangle = T_\perp [\mathbf{E}_0(1 - \beta) + \beta \mathbf{E}_{2c}], \quad (17)$$

где T_\perp — коэффициент прохождения по среднему полю.

Из (11) получим

$$\mathbf{E}_0 = \mathbf{k} E_{0z} \exp(i(\mathbf{k}_{01} \mathbf{r})). \quad (18)$$

Из (15) имеем

$$\mathbf{H}_0 = \frac{E_{0z}}{\omega\mu_a} \exp(i(\mathbf{k}_{01} \mathbf{r})) (\mathbf{i} k_{01y} - \mathbf{j} k_{01x}). \quad (19)$$

Поле $\mathbf{E}_2 = \{0, 0, E_{2z}\}$ описывается уравнением (16), решение которого ищем как

$$\mathbf{E}_2 = \mathbf{k} E_{0z} \exp(i(\mathbf{k}_2^\perp \mathbf{r})). \quad (20)$$

Подставив в (16), получим

$$k_2^\perp = \omega \sqrt{\epsilon_{\text{eff}_a}^{\parallel} \mu_a}.$$

Поэтому (17) принимает вид

$$\langle \mathbf{E}_2 \rangle = \mathbf{k} T_\perp [\exp(i(\mathbf{k}_{01} \mathbf{r})) (1 - \beta) + \beta \exp(i(\mathbf{k}_2^\perp \mathbf{r}))]. \quad (21)$$

Из (15) и (20) получим

$$\begin{aligned} \langle \mathbf{H}_2 \rangle &= T_\perp \frac{E_{0z}}{\omega\mu_a} \{ \mathbf{i} [k_{01,y} (1 - \beta) \exp(i(\mathbf{k}_{01} \mathbf{r})) \\ &+ \beta k_{2,y}^\perp \exp(i(\mathbf{k}_2^\perp \mathbf{r}))] - \mathbf{j} [k_{01,x} (1 - \beta) \exp(i(\mathbf{k}_{01} \mathbf{r})) \\ &+ \beta k_{2,x}^\perp \exp(i(\mathbf{k}_2^\perp \mathbf{r}))] \}. \end{aligned} \quad (22)$$

Имеем граничные условия

$$\begin{cases} [\mathbf{n}(\langle \mathbf{E}_1 \rangle - \langle \mathbf{E}_2 \rangle)] = 0 \\ [\mathbf{n}(\langle \mathbf{H}_1 \rangle - \langle \mathbf{H}_2 \rangle)] = 0 \end{cases}, \quad x = 0. \quad (23)$$

Подставив (13), (19), (21), (22) в граничные условия (23), находим

$$T_\perp = 1 + V_\perp. \quad (24)$$

$$V_\perp = \beta \frac{k_0 \cos(\varphi_1) - k_2^\perp \cos(\varphi_{2,\perp})}{2k_0 \cos(\varphi_1) + \beta(k_2^\perp \cos(\varphi_{2,\perp}) - k_0 \cos(\varphi_1))}. \quad (25)$$

Здесь

$$\cos(\varphi_{2,\perp}) = \sqrt{1 - \left(\frac{k_0}{k_2^\perp} \right)^2 \sin^2(\varphi_1)}.$$

При второй поляризации, когда $\mathbf{E} = \{E_x, E_y, 0\}$, $\mathbf{H} = \{0, 0, H_z\}$, в области $x < 0$ имеем

$$\begin{cases} E_x = \frac{i}{\omega\epsilon_0} \frac{\partial H_z}{\partial y}, \\ E_y = -\frac{i}{\omega\epsilon_0} \frac{\partial H_z}{\partial x}, \\ E_z = 0, \end{cases} \quad \begin{cases} H_x = 0, \\ H_y = 0, \\ H_z = -\frac{i}{\omega\mu_0} \left(\frac{\partial E_y}{\partial x} - \frac{\partial E_x}{\partial y} \right). \end{cases} \quad (26)$$

Отсюда H_z подчиняется уравнению

$$\frac{\partial^2 H_z}{\partial x^2} + \frac{\partial^2 H_z}{\partial y^2} + \omega^2 \varepsilon_0 \mu_0 H_z = 0. \quad (27)$$

В соответствии с (1) в области $x > 0$ имеем компоненты:

$$\begin{cases} E_x = \frac{i}{\omega \varepsilon_{\text{eff},a}^\perp} \frac{\partial H_z}{\partial y}, \\ E_y = -\frac{i}{\omega \varepsilon_{\text{eff},a}^\perp} \frac{\partial H_z}{\partial x}, \\ E_z = 0, \end{cases} \quad \begin{cases} H_x = 0, \\ H_y = 0, \\ H_z = -\frac{i}{\omega \mu_0} \left(\frac{\partial E_y}{\partial x} - \frac{\partial E_x}{\partial y} \right). \end{cases} \quad (28)$$

Отсюда H_z подчиняются уравнениям

$$\frac{\partial^2 H_z}{\partial x^2} + \frac{\partial^2 H_z}{\partial y^2} + \omega^2 \varepsilon_{\text{eff},a}^\perp \mu_0 H_z = 0. \quad (29)$$

Решение уравнения (27) ищем в виде $H_z = H_{0z} \times \exp(i(\mathbf{k}_0 \mathbf{r}))$, подставив в (27), получим

$$k_0 = \omega \sqrt{\varepsilon_0 \mu_0}.$$

Поле в области $x < 0$ запишем в виде

$$\langle \mathbf{E}_1 \rangle = \mathbf{E}_1^{\text{inc}} + V_{\parallel} \mathbf{E}_1^{\text{ref}}, \quad (30)$$

где V_{\parallel} — коэффициент отражения. Согласно (26),

$$\begin{aligned} \mathbf{E}_1^{\text{inc}} = \mathbf{i} E_x^{\text{inc}} + \mathbf{j} E_y^{\text{inc}} &= \frac{H_{0z}}{\omega \varepsilon_a} \left(-\mathbf{i} k_{01y} \exp(i(\mathbf{k}_{01} \mathbf{r})) \right. \\ &\quad \left. + \mathbf{j} k_{01x} \exp(i(\mathbf{k}_{01} \mathbf{r})) \right), \end{aligned}$$

$$\begin{aligned} \mathbf{E}_1^{\text{ref}} = \mathbf{i} E_x^{\text{ref}} + \mathbf{j} E_y^{\text{ref}} &= \frac{H_{0z}}{\omega \varepsilon_a} \left(-\mathbf{i} k_{02y} \exp(i(\mathbf{k}_{02} \mathbf{r})) \right. \\ &\quad \left. + \mathbf{j} k_{02x} \exp(i(\mathbf{k}_{02} \mathbf{r})) \right). \end{aligned}$$

Напряженность магнитного поля в области $x < 0$ есть

$$\langle \mathbf{H}_1 \rangle = \mathbf{k} H_{0z} \left(\exp(i(\mathbf{k}_{01} \mathbf{r})) + V_{\parallel} \exp(i(\mathbf{k}_{02} \mathbf{r})) \right). \quad (31)$$

В области $x > 0$ в соответствии с (9) имеем

$$\langle \mathbf{E}_2 \rangle = T_{\parallel} [\mathbf{E}_0 (1 - \beta) + \beta \mathbf{E}_{1c}], \quad (32)$$

T_{\parallel} — коэффициент прохождения.

В соответствии с (26)

$$\mathbf{E}_0 = \frac{H_{0z}}{\omega \varepsilon_a} \left(-\mathbf{i} k_{01y} \exp(i(\mathbf{k}_{01} \mathbf{r})) + \mathbf{k} k_{01x} \exp(i(\mathbf{k}_{01} \mathbf{r})) \right).$$

Решение уравнения (29) ищем в виде $H_z = H_{0z} \times \exp(i(\mathbf{k}_1^{\parallel} \mathbf{r}))$, подставив в (29), получим

$$k_1^{\parallel} = \omega \sqrt{\varepsilon_{\text{eff},a}^{\perp} \mu_a}.$$

Из (28) имеем

$$\mathbf{E}_1 = \frac{H_{0z}}{\omega \varepsilon_{\text{eff}}^{\perp}} \left[-\mathbf{i} k_{2,y}^{\parallel} \exp(i(\mathbf{k}_2^{\parallel} \mathbf{r})) + \mathbf{j} k_{2,x}^{\parallel} \exp(i(\mathbf{k}_2^{\parallel} \mathbf{r})) \right].$$

Магнитное поле в области $x > 0$ есть

$$\langle \mathbf{H}_2 \rangle = T_{\parallel} \mathbf{H}_{0z} \exp(i(\mathbf{k}_1 \mathbf{r})). \quad (33)$$

Подставив (30), (31), (32) и (33) в (19), определим V_{\parallel} и T_{\parallel} :

$$T_{\parallel} = 1 + V_{\parallel}, \quad (34)$$

$$V_{\parallel} = \beta \frac{k_0 \cos(\varphi_1) - k_1^{\parallel} \cos(\varphi_{2,\parallel})}{2k_0 \cos(\varphi_1) + \beta(k_1^{\parallel} \cos(\varphi_{2,\parallel}) - k_0 \cos(\varphi_1))}, \quad (35)$$

где

$$\cos(\varphi_{2,\parallel}) = \sqrt{1 - \left(\frac{k_0}{k_1^{\parallel}} \right)^2 \sin^2(\varphi_1)}.$$

Отметим что, если $\beta = 1$ и $\varepsilon_{\text{eff},a}^{\parallel} = \varepsilon_{\text{eff},a}^{\perp}$, т.е. вторая область сплошная изотропная среда, то (24), (25), (34), (35) переходят в известные формулы Френеля.

Результаты и их обсуждение

Приведем расчетные и экспериментальные данные по отражению и преломлению плоских волн на боковой стене реального лесного массива — случайной дискретной анизотропной среды.

На рис. 3 представлены рассчитанные по формулам (25) и (35) зависимости величин $V'_{\perp} = 20 \lg |V_{\perp}|$, $V'_{\parallel} = 20 \lg |V_{\parallel}|$ от параметра p при нормальном падении плоской волны на кромку леса. Параметры среды следующие: радиус стволов — $a_1 = 0.09$ м, радиус кроны — $a_2 = 1.42$ м. Согласно [9], при частоте $f = 110$ MHz

$$\begin{aligned} \hat{\varepsilon}_a &= \varepsilon_0 \begin{pmatrix} 20 + i9 & 0 & 0 \\ 0 & 20 + i9 & 0 \\ 0 & 0 & 40 + i4 \end{pmatrix}, \\ \hat{\varepsilon}_a^{\text{cr}} &= \varepsilon_0 \begin{pmatrix} 1 & 0 & 0 \\ 0 & 1 & 0 \\ 0 & 0 & 1 \end{pmatrix}. \end{aligned} \quad (36)$$

Из рис. 3 видно, что коэффициенты отражения от случайной дискретной среды с изменением плотности

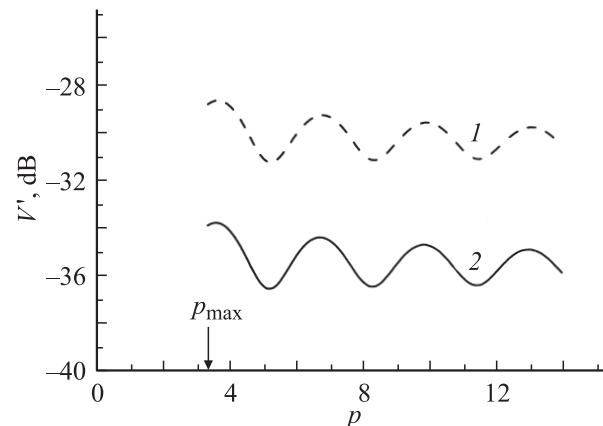


Рис. 3. Зависимость коэффициентов отражения от плотности среды (1 — V'_{\parallel} , 2 — V'_{\perp}).

носят осциллирующий характер. Объясняется это тем, что, как следует из (9), среднее поле есть результат интерференции прямых волн и волн, рассеянных дискретными неоднородностями. При этом случайная среда с данной плотностью будет эквивалентна некоторой квазипериодической структуре со средним расстоянием между элементами, равным $1/(2\sqrt{\sigma})$. Из (9) и (10) видно, что, если выполняется условие

$$p - p_{\max} \approx n\pi,$$

то при $n = 1, 3, 5\dots$ будем наблюдать максимум прохождения и соответственно при $n = 2, 4, 6\dots$ — минимум. Это условие аналогично условию Вульфа–Брэггов. Кроме того, из рис. 3 следует, что величины коэффициентов отражения при первой и второй поляризациях в силу анизотропии рассеивающих элементов различны.

На рис. 4 представлены расчетные зависимости коэффициентов отражения по среднему полю для двух поляризаций от угла падения φ_1 . Расчеты выполнены для случая, когда $f = 110$ MHz, $a_1 = 0.09$ m, $a_2 = 1.42$ m, $p = 7$, а $\hat{\epsilon}_a$ соответствует (36). Здесь представлены экспериментальные данные для случая, когда вектор \mathbf{E} параллелен осям цилиндров: описание эксперимента см. в [10], экспериментальные данные — в [11].

Из рис. 4 хорошо видно соответствие теоретических и измеренных результатов. Расчет показывает, что в случае поляризации, когда вектор \mathbf{E} перпендикулярен осям цилиндров, и при $\varphi_1 = 47^\circ$ происходит полное прохождение поля во вторую среду — эффект, аналогичный явлению Брюстера для сплошных сред. Отметим, что подобный эффект наблюдал Г.Д. Малюжинец для одномерных решеток [12].

На рис. 5 и 6 показаны теоретические и экспериментальные дистанционные зависимости полей $E'_y = 20 \lg(E_y)$ и $E'_z = 20 \lg(E_z)$ при переходе точки наблюдения по нормали к границе из свободного пространства в лесную среду. Расчеты выполнены для случая: $f = 152$ MHz, $a_1 = 0.09$ m, $a_2 = 1.42$ m, $p = 4.3$.

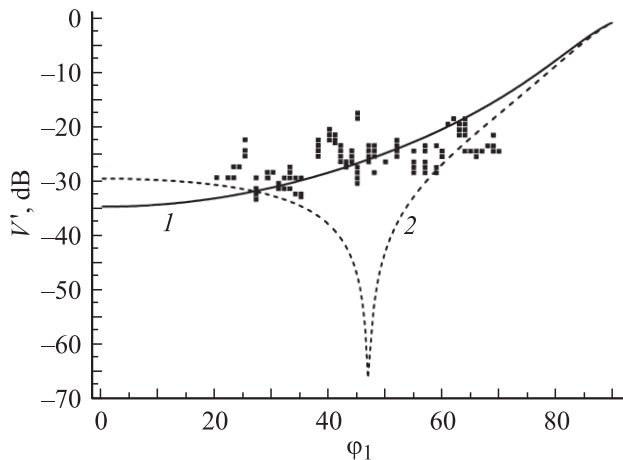


Рис. 4. Угловая зависимость коэффициентов отражения: теоретическая зависимость 1 — для V'_\perp , 2 — для V'_\parallel ; ■ — экспериментальные данные для V'_\parallel .

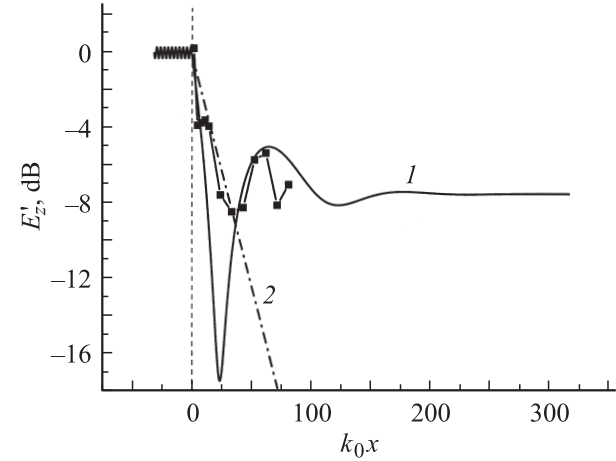


Рис. 5. Дистанционная зависимость поля при первой поляризации: теоретическая зависимость 1 — для $p = 4.3$, 2 — для $p = p_{\max}$; ■ — экспериментальные данные для $p = 4.3$.

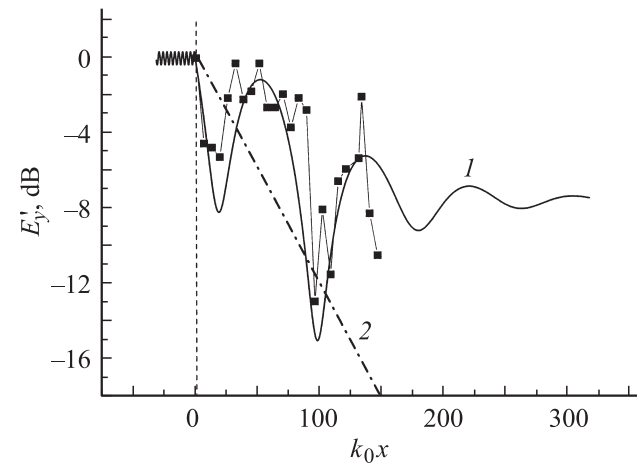


Рис. 6. То же, что для рис. 5, при второй поляризации.

дения по нормали к границе из свободного пространства в лесную среду. Расчеты выполнены для случая: $f = 152$ MHz, $a_1 = 0.09$ m, $a_2 = 1.42$ m, $p = 4.3$.

$$\hat{\epsilon}_a = \epsilon_0 \begin{pmatrix} 30 + i15 & 0 & 0 \\ 0 & 30 + i15 & 0 \\ 0 & 0 & 20 + i14 \end{pmatrix},$$

$$\hat{\epsilon}_a^{\text{cr}} = \epsilon_0 \begin{pmatrix} 1 & 0 & 0 \\ 0 & 1 & 0 \\ 0 & 0 & 1 \end{pmatrix}.$$

Здесь вертикальные пунктирные линии показывают границу раздела сред. Каждая экспериментальная точка на рис. 5 получена усреднением по 18 реализациям, на рис. 6 по 22 реализациям. Среднее квадратическое отклонение не превышает 3.8 dB.

Из рис. 5 и 6 видно хорошее качественное согласие измеренных и расчетных данных. В частности, перед границей из-за сложения падающих на границу волн

и слабо отраженного поля наблюдается интерференция волн. При переходе через границу и по мере углубления точки наблюдения в среду поле при обеих поляризациях испытывает сильные пространственные флюктуации в отличие от случая погружения в сплошную среду, когда поле изменяется плавно по экспоненциальному закону (штрихпунктир на рисунках). Эти флюктуации вызваны интерференцией прямой волны, затухающей по экспоненте с погружением в среду, и волн, рассеянных дискретными элементами. При этом в силу анизотропных свойств скорость затухания прямого поля с погружением в среду для разных поляризаций различна.

Отметим также, что при $k_0x > 150$ уровни поля при обеих поляризациях практически не изменяются и имеют одинаковую величину. Такая эволюция дистанционной зависимости объясняется тем, что прямая волна на расстоянии от 0 до $k_0x = 150$ затухает и остается только рассеянная компонента, амплитуда которой слабо зависит от расстояния.

Заключение

В работе дано решение уравнений Максвелла для случайной дискретной анизотропной среды с использованием приближения однократного рассеяния и условия погружения в плотноупакованную среду. Установлено, что среднее поле в случайной дискретной анизотропной среде представляет собой суперпозицию волн прямого прохождения и рассеянных волн.

Обнаружен флюктуационный характер среднего поля вблизи границы. При этом область интерференции при второй поляризации более протяжена, чем при первой. По мере углубления в среду, во-первых, флюктуации убывают и поле определяется рассеянной компонентой, слабо зависящей от расстояния до границы, во-вторых, исчезает поляризационная зависимость.

Определены коэффициенты отражения и прохождения плоских волн на границе воздухслучайная дискретная анизотропная среда. Выявлена квазипериодическая зависимость данных физических величин от средней плотности среды.

Обнаружен минимум в угловой зависимости коэффициента отражения при падении плоской волны на границу одноосной анизотропной случайной дискретной среды в случае, когда вектор **H** параллелен оптической оси (явление, аналогичное углу Брюстера при отражении от изотропной сплошной среды).

Работа выполнена при финансовой поддержке РФФИ, грант № 08-02-98003-р-сибирь_a.

- [3] Павлова Е.Г. // Lightwave Russian Edition. 2005. № 3. С. 54–56.
- [4] Гурвич А.С., Кон А.И., Миронов В.Л., Хмелевцов С.С. Лазерное излучение в турбулентной атмосфере. М.: Наука, 1976. 277 с.
- [5] Кузьмин В.Л., Романов В.П. // УФН. 1996. Т. 166. № 3. С. 247–278.
- [6] Ломухин Ю.Л., Атутов Е.Б. // Письма в ЖТФ. 2007. Т. 33. Вып. 3. С. 15–21.
- [7] Атутов Е.Б., Ломухин Ю.Л. // РиЭ. 2007. Т. 52. № 11. С. 1360–1366.
- [8] Ландau Л.Д., Лифшиц Е.М. Электродинамика сплошных сред. Т. 8. М.: Наука, 1982. 620 с.
- [9] Торговников Г.И. Диэлектрические свойства древесины. М.: Лесная промышленность, 1986. 128 с.
- [10] Хомяк Е.М., Плетнев В.И., Доржиев Б.Ч. // Вопросы радиоэлектроники. Сер. Общие вопросы радиоэлектроники. 1987. Вып. 7. С. 77–84.
- [11] Плетнев В.И., Занабадаров М.Д., Хомяк Е.М. // Тез. докл. конф. „Ультракороткие радиоволны и электромагнитная совместимость“. Улан-Удэ, 1983. С. 166–168.
- [12] Шестopalов В.П., Сиренко Ю.К. Динамическая теория решеток. Киев: Наук. думка, 1982. 216 с.

Список литературы

- [1] Ветлужский А.Ю., Ломухин Ю.Л. // РиЭ. 2004. Т. 49. № 3. С. 282–287.
- [2] Bikash C. Gupta, Zhen Ye. // Phys. Rev. 2003. Vol. E67. P. 036 606.